

Validación para test

Grupo de investigación en epidemiología, EAFIT

03-Feb-2021

Tabla de contenidos

Capítulo 1. Tramo número 1.....	1
1.1. Información básica.....	1
1.2. Parámetros estimados con sus intervalos.....	1
1.3. Análisis de identificabilidad.....	2
1.4. Análisis de incertidumbre.....	5
Capítulo 2. Tramo número 2.....	6
2.1. Información básica.....	6
2.2. Parámetros estimados con sus intervalos.....	6
2.3. Análisis de identificabilidad.....	7
2.4. Análisis de incertidumbre.....	10
Capítulo 3. Tramo número 3.....	11
3.1. Información básica.....	11
3.2. Parámetros estimados con sus intervalos.....	11
3.3. Análisis de identificabilidad.....	12
3.4. Análisis de incertidumbre.....	15
Capítulo 4. Tramo número 4.....	16
4.1. Información básica.....	16
4.2. Parámetros estimados con sus intervalos.....	16
4.3. Análisis de identificabilidad.....	17
4.4. Análisis de incertidumbre.....	20
Capítulo 5. Tramo número 5.....	21
5.1. Información básica.....	21
5.2. Parámetros estimados con sus intervalos.....	21
5.3. Análisis de identificabilidad.....	22
5.4. Análisis de incertidumbre.....	25
Capítulo 6. Tramo número 6.....	26
6.1. Información básica.....	26
6.2. Parámetros estimados con sus intervalos.....	26
6.3. Análisis de identificabilidad.....	27
6.4. Análisis de incertidumbre.....	30
Capítulo 7. Tramo número 7.....	31
7.1. Información básica.....	31
7.2. Parámetros estimados con sus intervalos.....	31
7.3. Análisis de identificabilidad.....	32
7.4. Análisis de incertidumbre.....	35

Capítulo 1. Tramo número 1

1.1. Información básica

El tramo a validar consiste en la serie de tiempo desde el dato 1 hasta el dato 82. El estado de la validación es: COMPLETADA.

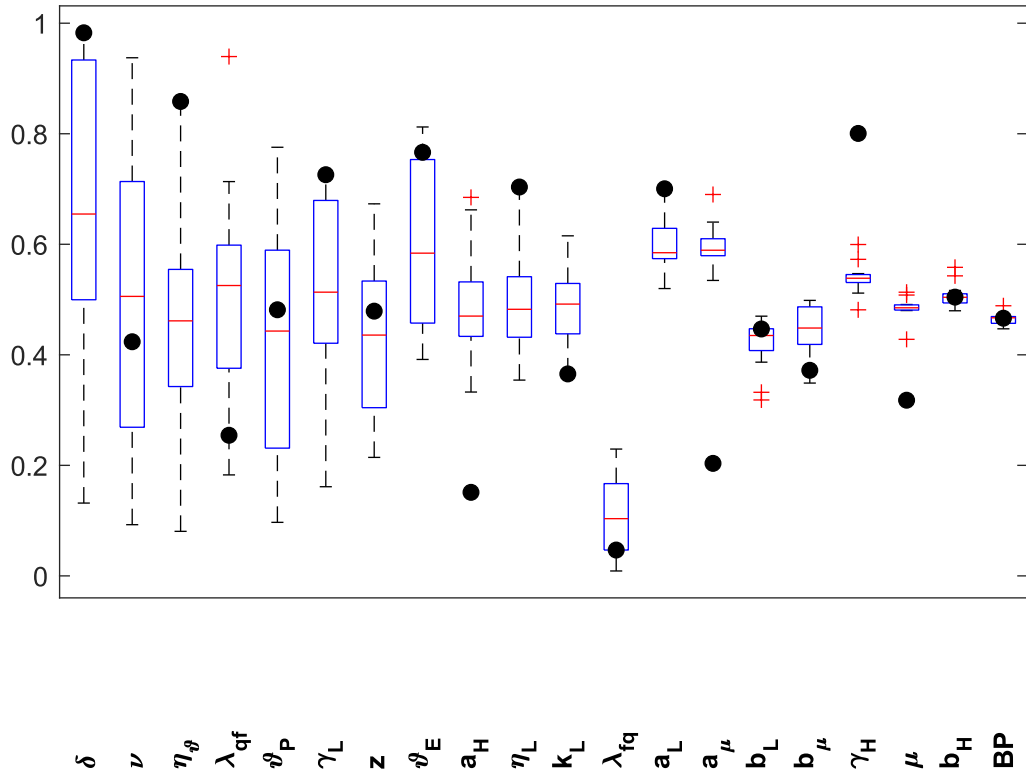
El número de estimaciones necesarias para realizar la validación fue de 40.

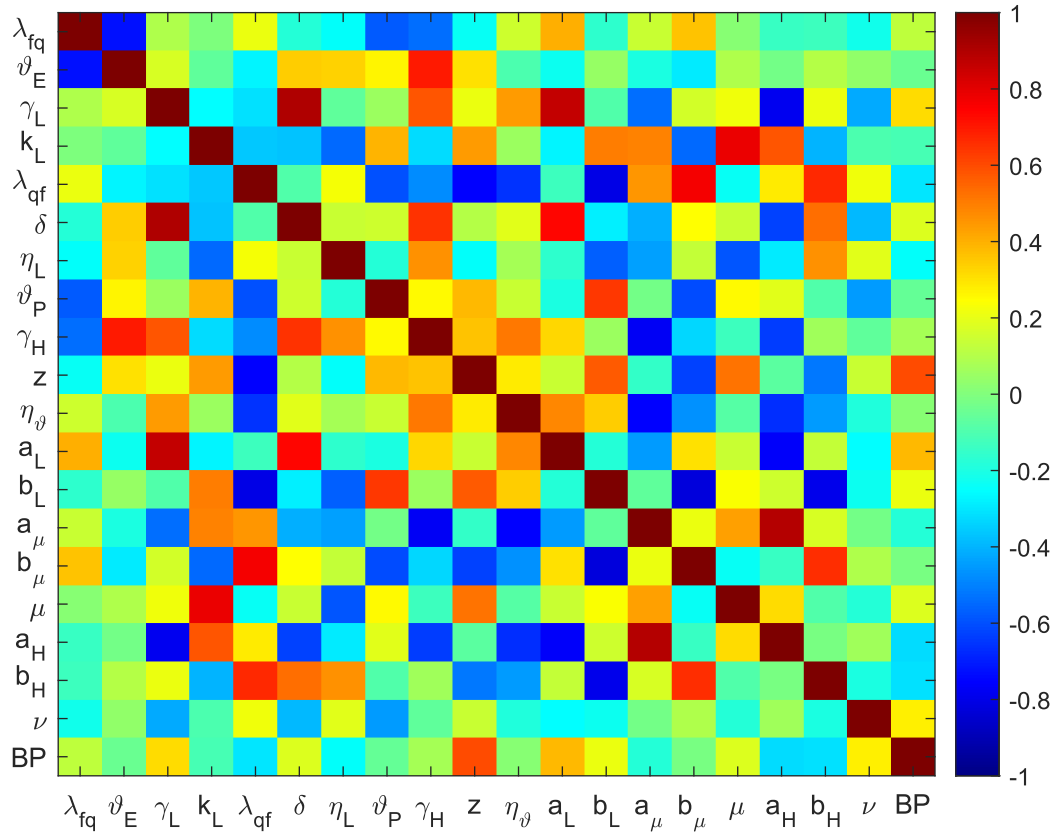
1.2. Parámetros estimados con sus intervalos

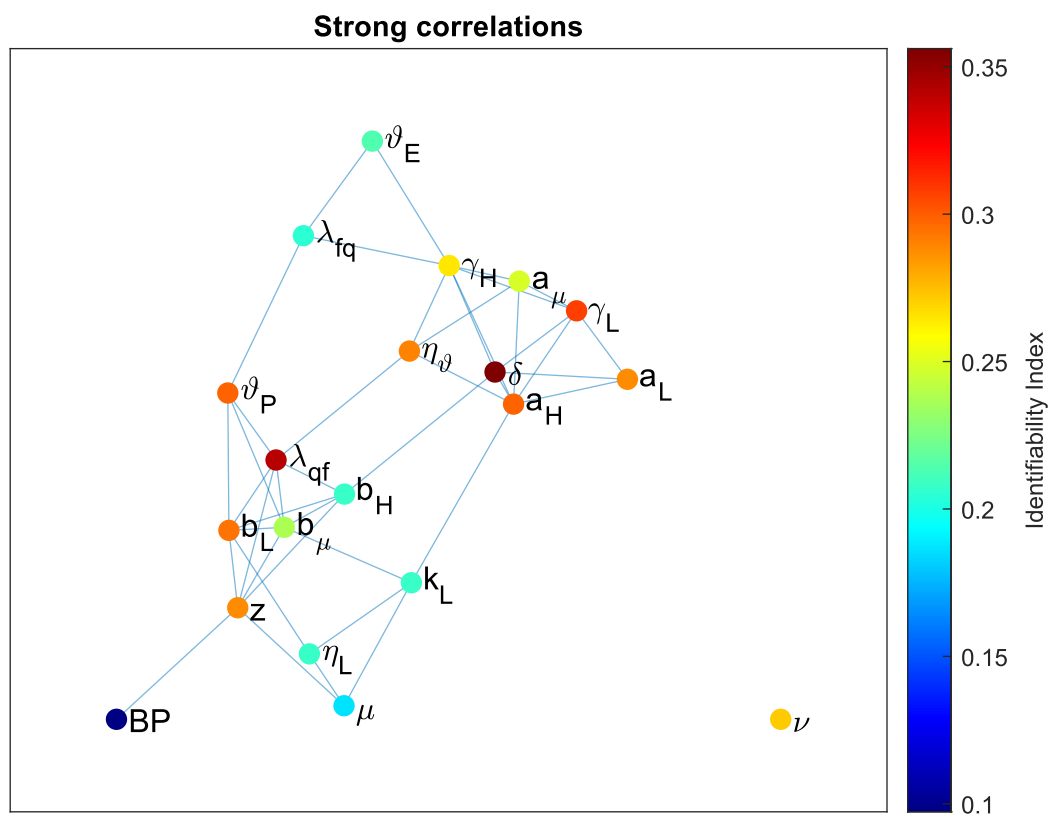
Fue necesario fijar 0 parámetros de 11 que podían fijarse para completar la validación.

	Rango		Nominal	Mejor	Index
E^2_0	'1090.5742'	'2000'	'1693.4557'	'225.8139'	'0.4342'
P_0	'2.7508'	'158.7202'	'80.7355'	'275.4542'	'0.3875'
λ_{fq}	'0.3092'	'0.7764'	'0.5428'	'0.4576'	'0.4114'
ϑ_E	'0'	'0.1179'	'0.0309'	'0.0002'	'0.2307'
γ_L	'0.0148'	'0.0872'	'0.051'	'0.0001'	'0.2005'
k_L	'3.6826'	'7.1822'	'5.4324'	'9.392'	'0.3583'
λ_{qf}	'0.3082'	'0.7101'	'0.5092'	'0.3248'	'0.4248'
δ	'0'	'0.043'	'0.0185'	'0.0734'	'0.3595'
η_L	'0.2996'	'0.6766'	'0.4881'	'0.4709'	'0.355'
ϑ_P	'0'	'0.0043'	'0.0009'	'0.0002'	'0.1092'
γ_H	'0.1363'	'0.5147'	'0.3255'	'0.6421'	'0.3674'
z	'0.3401'	'1.677'	'1.0086'	'2.7896'	'0.1679'
η_{ϑ}	'0.4696'	'0.8137'	'0.6416'	'0.4812'	'0.3333'
a_L	'1'	'6.7458'	'3.8349'	'5.8209'	'0.3622'
b_L	'9.3961'	'14.6957'	'12.0459'	'14.7572'	'0.382'
a_{μ}	'1.0011'	'3.7481'	'2.3746'	'1.0028'	'0.2031'
b_{μ}	'4.3369'	'12.2724'	'8.3047'	'14.6626'	'0.4772'
μ	'0.3138'	'0.86'	'0.5869'	'0.1022'	'0.4716'
a_H	'1'	'7.9051'	'3.6755'	'2.0985'	'0.42'
b_H	'4.2074'	'9.8175'	'7.0124'	'9.7053'	'0.398'
ν	'135.3344'	'332.5375'	'233.9359'	'265.0432'	'0.3568'

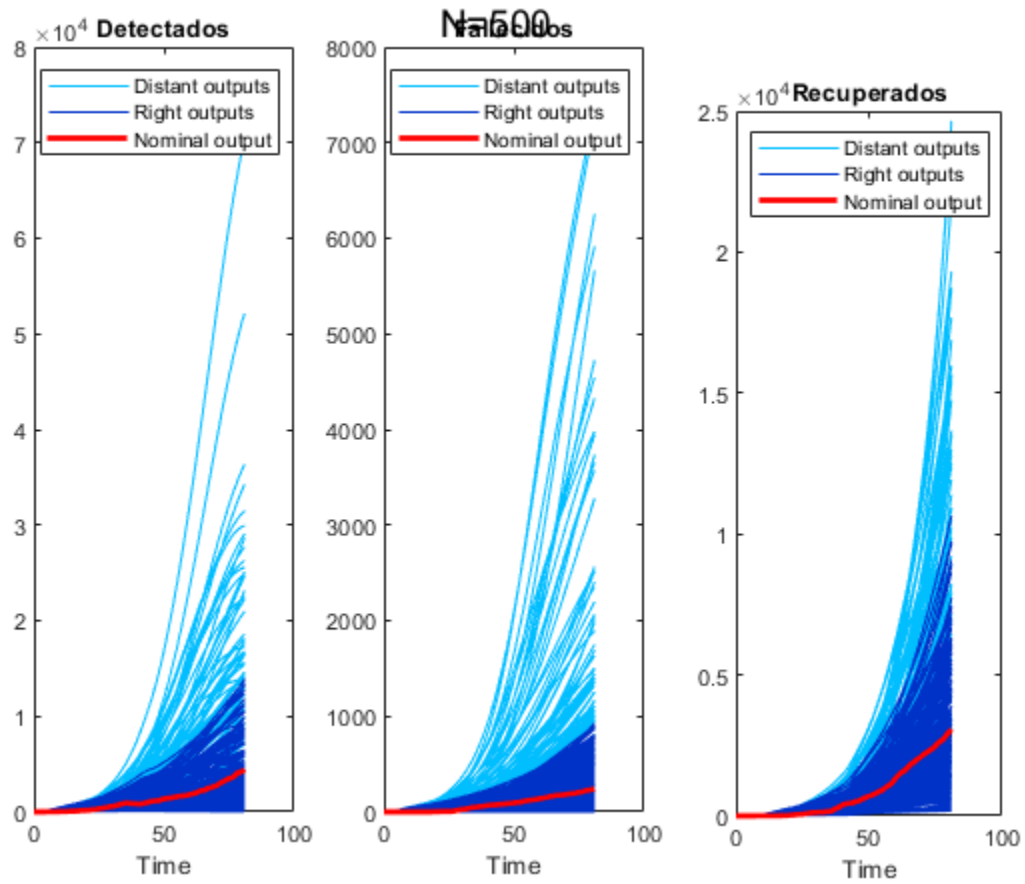
1.3. Análisis de identificabilidad







1.4. Análisis de incertidumbre



Capítulo 2. Tramo número 2

2.1. Información básica

El tramo a validar consiste en la serie de tiempo desde el dato 82 hasta el dato 120. El estado de la validación es: COMPLETADA.

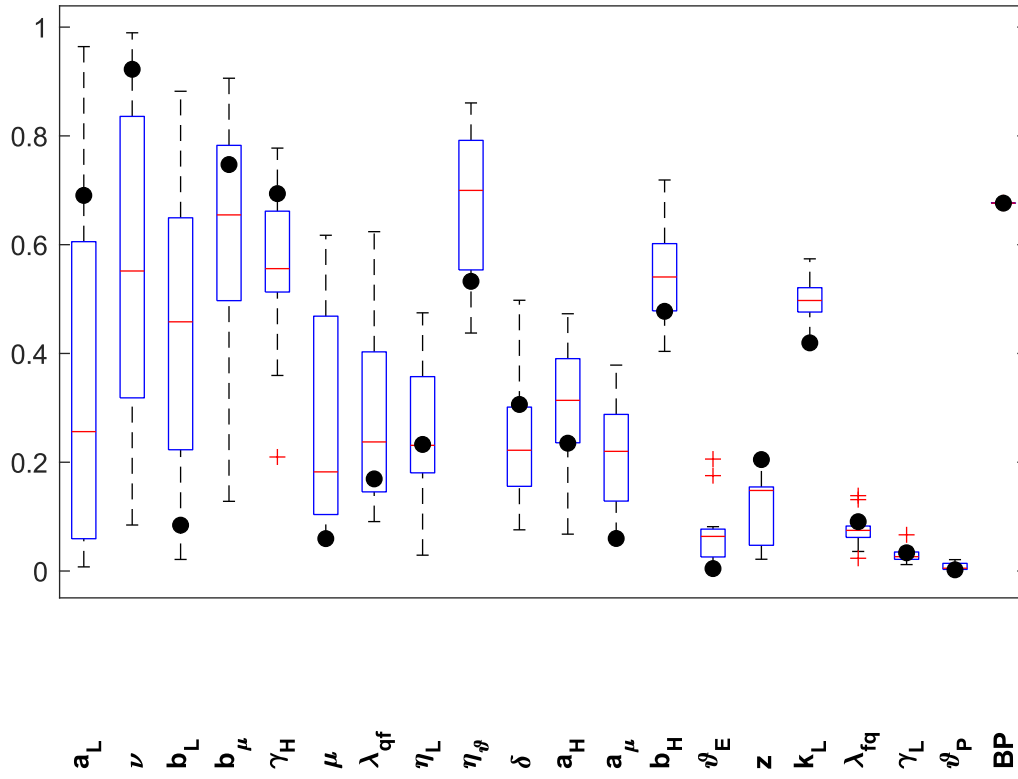
El número de estimaciones necesarias para realizar la validación fue de 40.

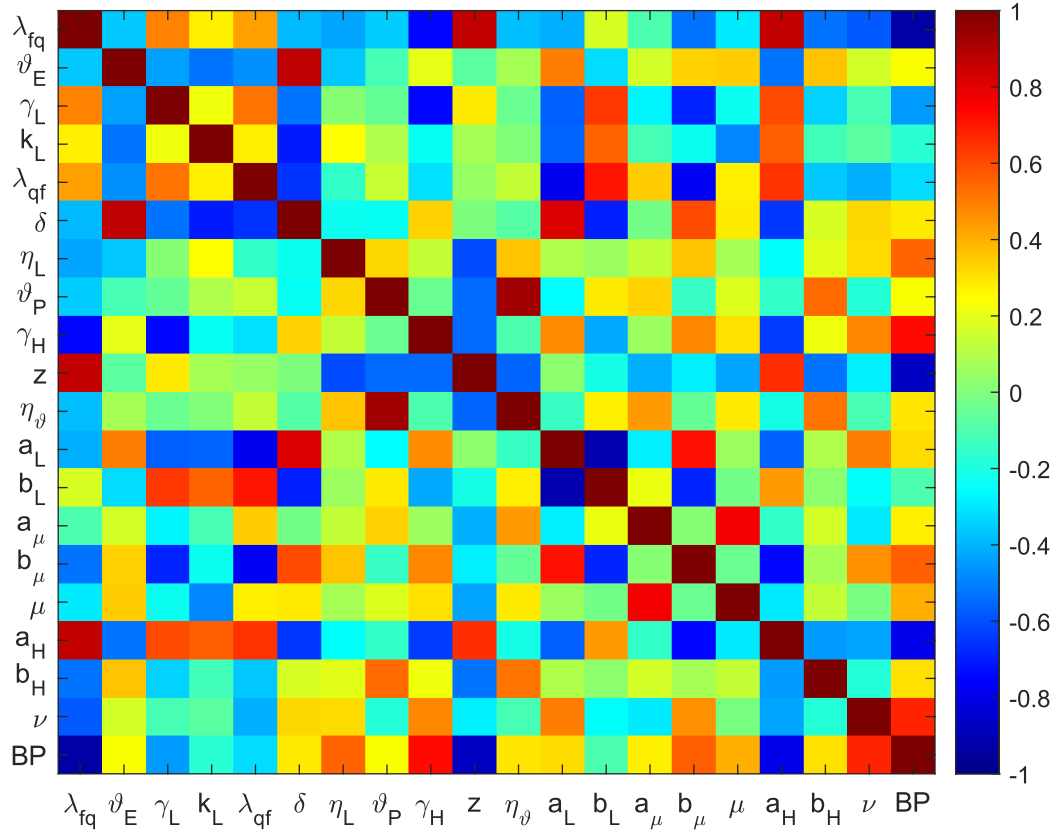
2.2. Parámetros estimados con sus intervalos

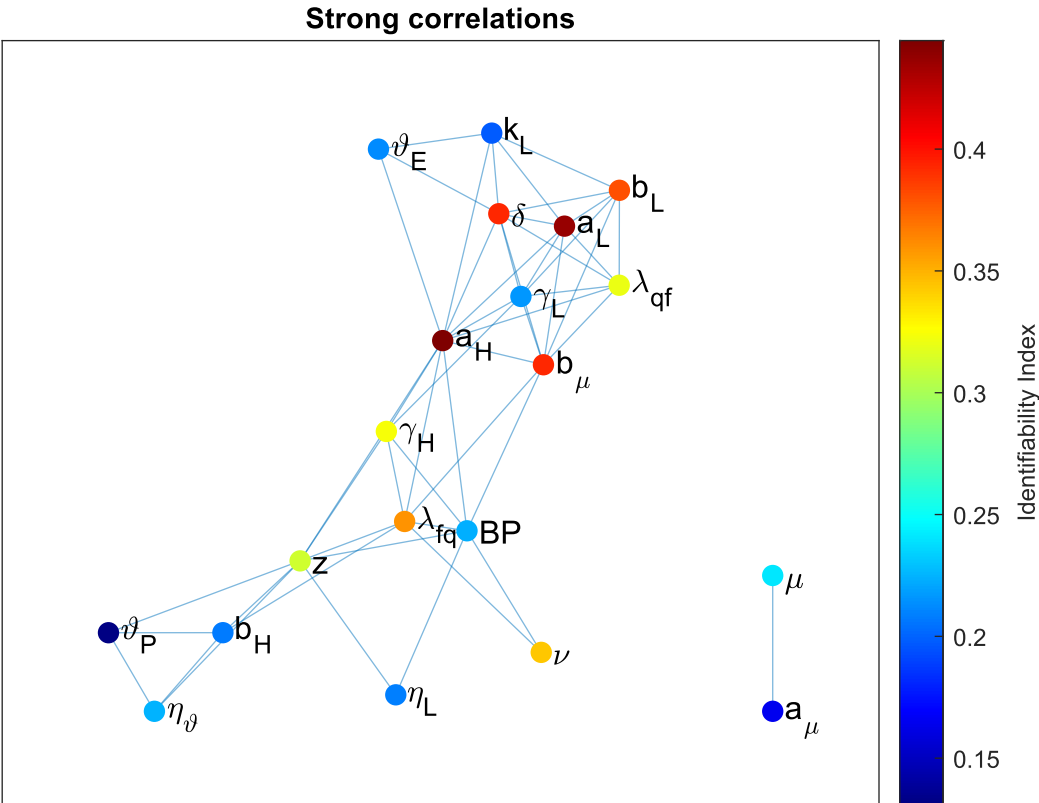
Fue necesario fijar 0 parámetros de 10 que podían fijarse para completar la validación.

	Rango		Nominal	Mejor	Index
λ_{fq}	'0'	'0.2679'	'0.0747'	'0.0907'	'0.3594'
ϑ_E	'0'	'0.1396'	'0.0643'	'0.0045'	'0.2125'
γ_L	'0.0126'	'0.0402'	'0.0264'	'0.0335'	'0.2159'
k_L	'5.1006'	'5.8432'	'5.4719'	'4.7752'	'0.1974'
λ_{qf}	'0.1136'	'0.3611'	'0.2373'	'0.1694'	'0.3198'
δ	'0.0097'	'0.0605'	'0.0351'	'0.0459'	'0.392'
η_L	'0.1322'	'0.3299'	'0.2311'	'0.2327'	'0.2095'
ϑ_P	'0.0003'	'0.01'	'0.0051'	'0.0022'	'0.1313'
γ_H	'0.4071'	'0.7028'	'0.5549'	'0.6939'	'0.3245'
z	'1.5619'	'7.3846'	'4.4732'	'6.1466'	'0.3123'
η_{ϑ}	'0.5998'	'0.7997'	'0.6998'	'0.5326'	'0.2248'
a_L	'1.4532'	'7.7228'	'4.588'	'10.6683'	'0.4364'
b_L	'4.7002'	'10.1282'	'7.4142'	'2.18'	'0.3802'
a_{μ}	'3.0846'	'5.0759'	'4.0802'	'1.8374'	'0.165'
b_{μ}	'7.7758'	'12.5569'	'10.1663'	'11.4623'	'0.392'
μ	'0.04'	'0.3246'	'0.1823'	'0.0596'	'0.2407'
a_H	'3.381'	'7.9409'	'5.6609'	'4.2901'	'0.4445'
b_H	'7.6302'	'9.5065'	'8.5684'	'7.6847'	'0.2082'
ν	'164.9698'	'386.643'	'275.8064'	'461.2287'	'0.3439'
BP	'80.8167'	'82.1883'	'81.5025'	'81.4883'	'0.2236'

2.3. Análisis de identificabilidad

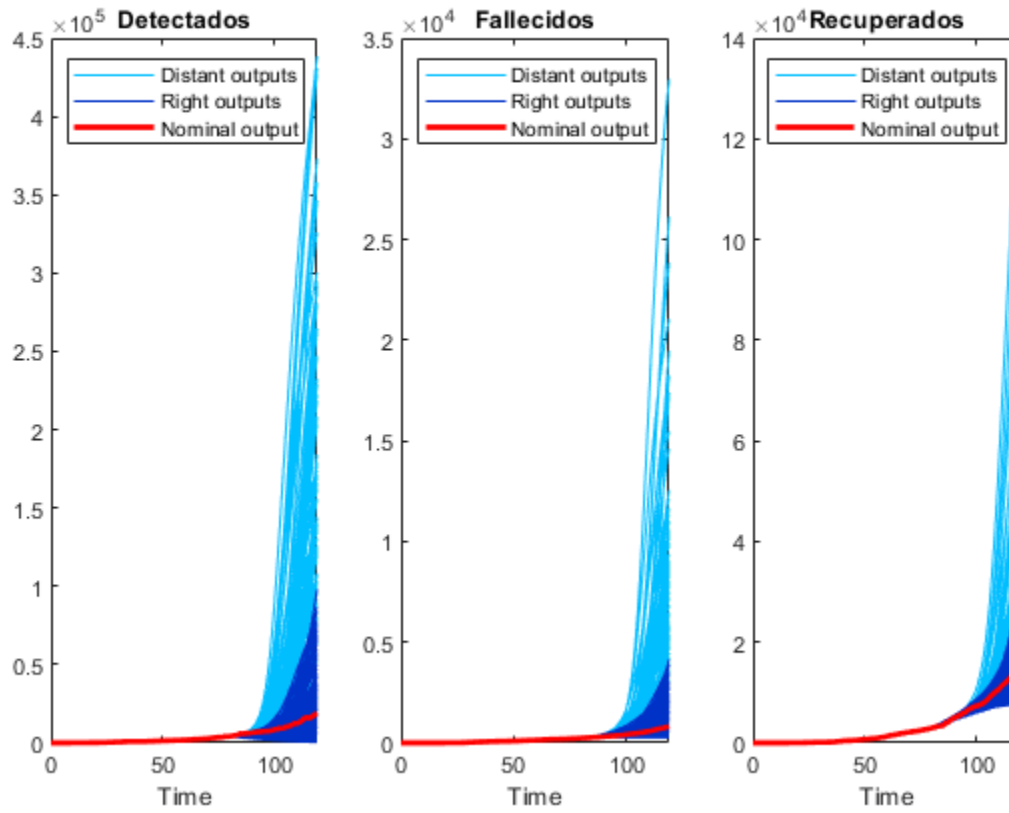






2.4. Análisis de incertidumbre

N=500



Capítulo 3. Tramo número 3

3.1. Información básica

El tramo a validar consiste en la serie de tiempo desde el dato 120 hasta el dato 160. El estado de la validación es: COMPLETADA.

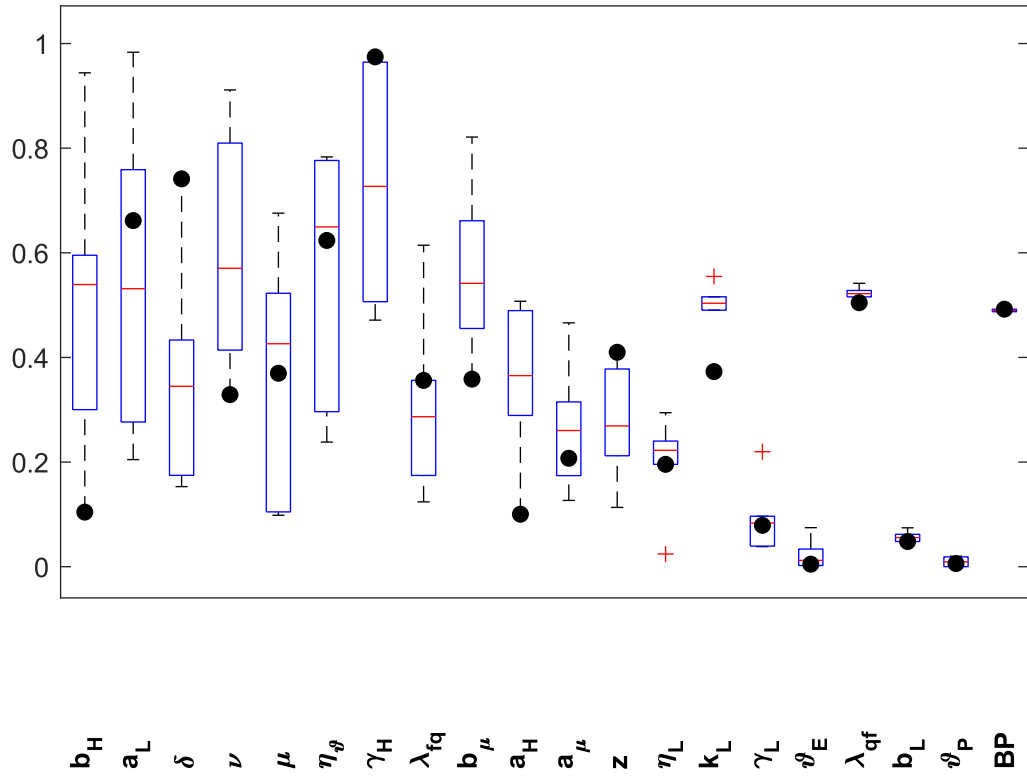
El número de estimaciones necesarias para realizar la validación fue de 20.

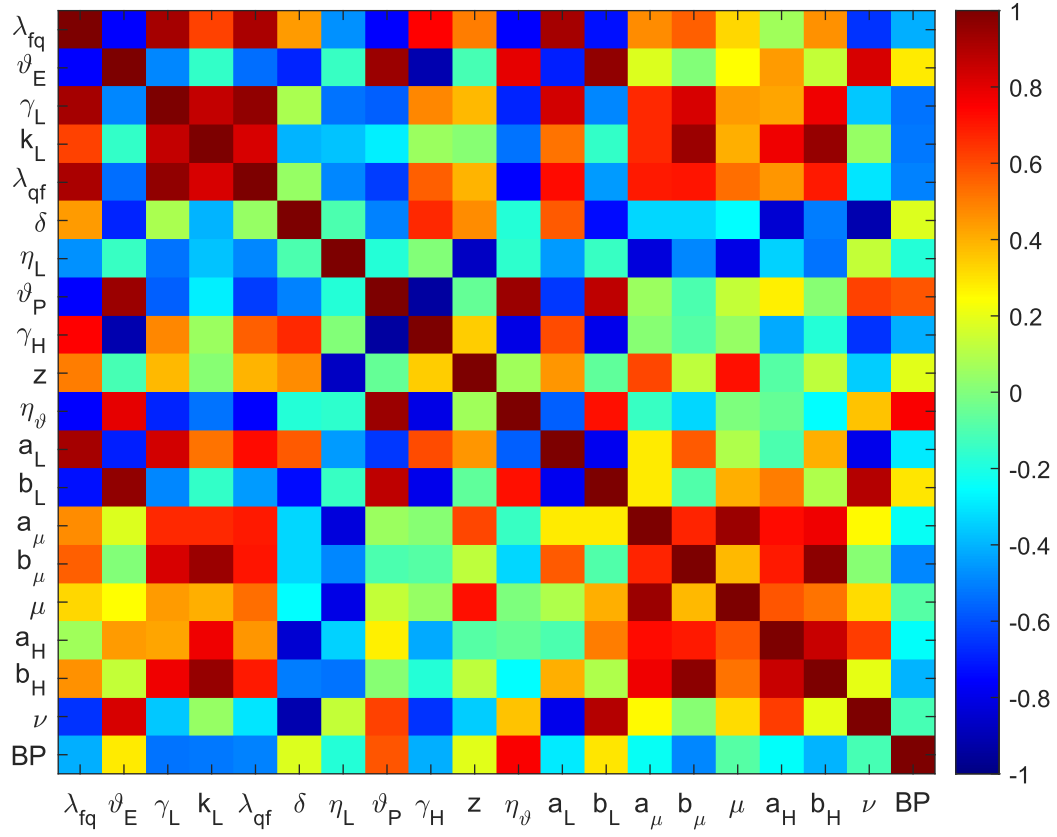
3.2. Parámetros estimados con sus intervalos

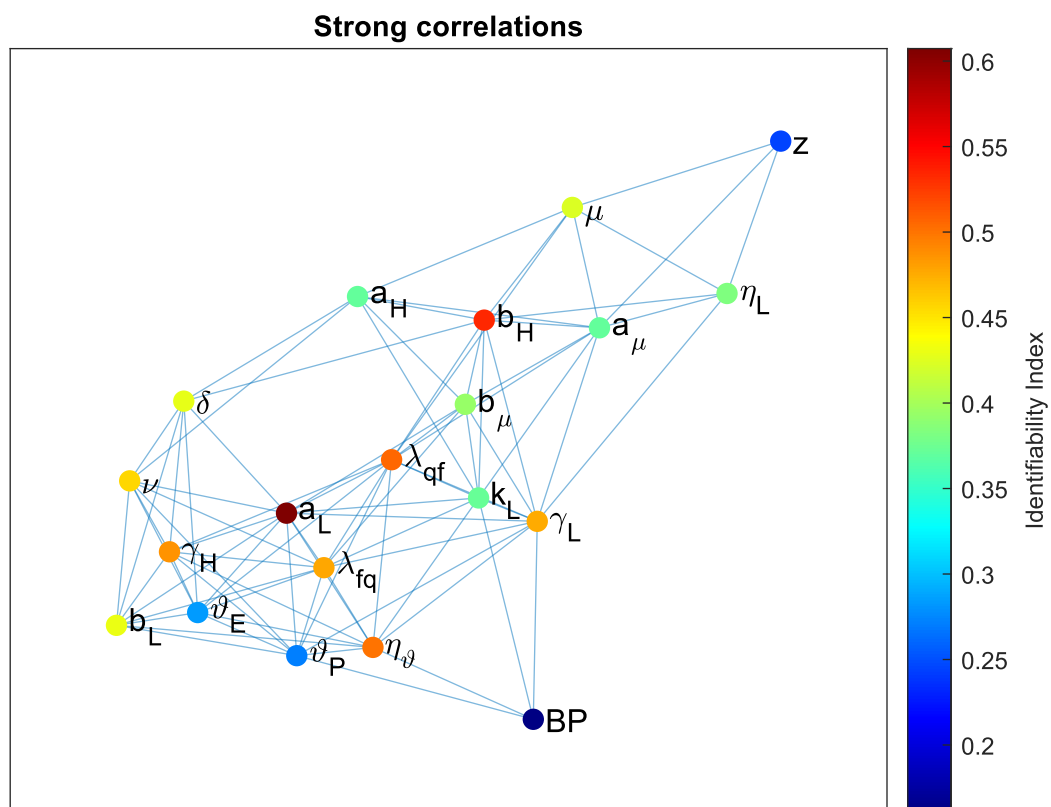
Fue necesario fijar 0 parámetros de 10 que podían fijarse para completar la validación.

	Rango		Nominal	Mejor	Index
λ_{fq}	'0.1131'	'0.4603'	'0.2867'	'0.3561'	'0.4782'
ϑ_E	'0'	'0.0632'	'0.0193'	'0.0048'	'0.2846'
γ_L	'0'	'0.3439'	'0.0878'	'0.0791'	'0.4751'
k_L	'4.5768'	'6.5614'	'5.5691'	'4.3564'	'0.373'
λ_{qf}	'0.331'	'0.7127'	'0.5219'	'0.5046'	'0.5044'
δ	'0.0196'	'0.0839'	'0.0517'	'0.1112'	'0.4293'
η_L	'0.022'	'0.4346'	'0.2283'	'0.1957'	'0.3836'
ϑ_P	'0.0003'	'0.0182'	'0.0092'	'0.006'	'0.2717'
γ_H	'0.4863'	'0.9677'	'0.727'	'0.9745'	'0.4863'
z	'4.8058'	'11.3396'	'8.0727'	'12.2962'	'0.2446'
η_{ϑ}	'0.4093'	'0.8897'	'0.6495'	'0.6236'	'0.5002'
a_L	'4.1808'	'12.6979'	'8.4393'	'10.2618'	'0.6073'
b_L	'1'	'6.2408'	'1.8672'	'1.6743'	'0.4295'
a_{μ}	'2.9135'	'6.3748'	'4.6441'	'3.9018'	'0.3707'
b_{μ}	'6.2691'	'10.896'	'8.5826'	'6.0189'	'0.3943'
μ	'0.1916'	'0.6607'	'0.4262'	'0.3697'	'0.424'
a_H	'3.9786'	'8.2483'	'6.1134'	'2.4047'	'0.3705'
b_H	'4.5493'	'12.5528'	'8.5511'	'2.4605'	'0.5332'
ν	'171.255'	'399.2108'	'285.2329'	'164.4469'	'0.4571'
BP	'120.0154'	'120.4482'	'120.2318'	'120.3937'	'0.1609'

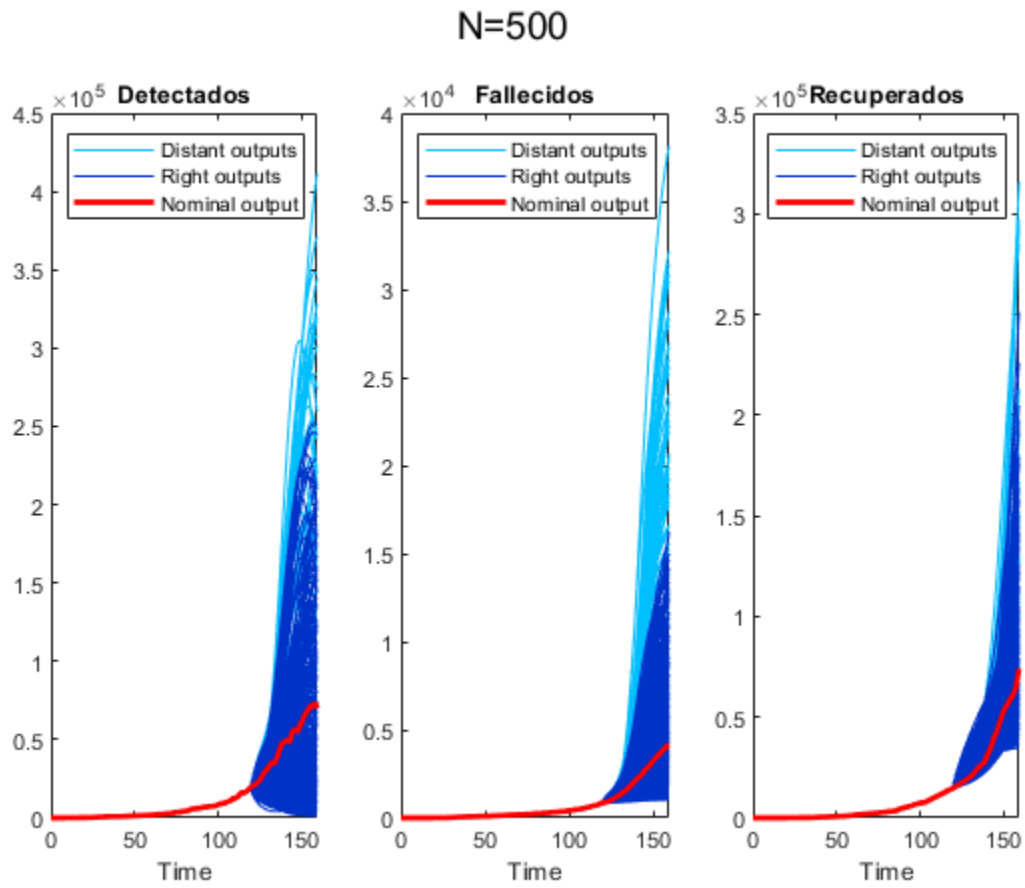
3.3. Análisis de identificabilidad







3.4. Análisis de incertidumbre



Capítulo 4. Tramo número 4

4.1. Información básica

El tramo a validar consiste en la serie de tiempo desde el dato 160 hasta el dato 190. El estado de la validación es: COMPLETADA.

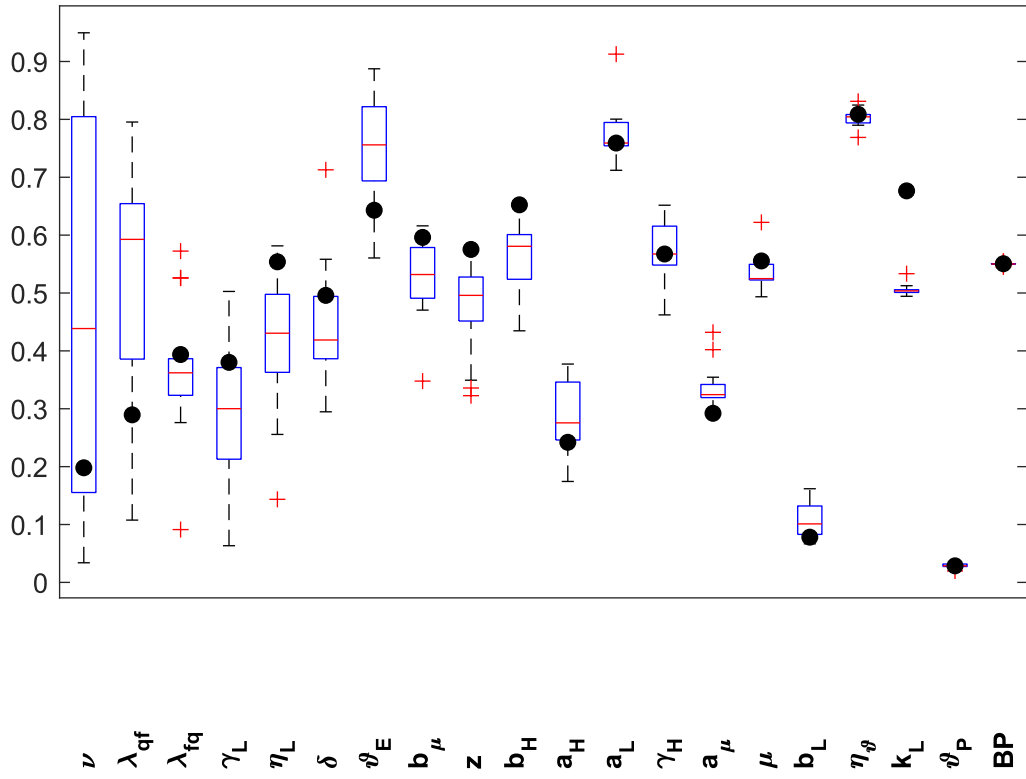
El número de estimaciones necesarias para realizar la validación fue de 20.

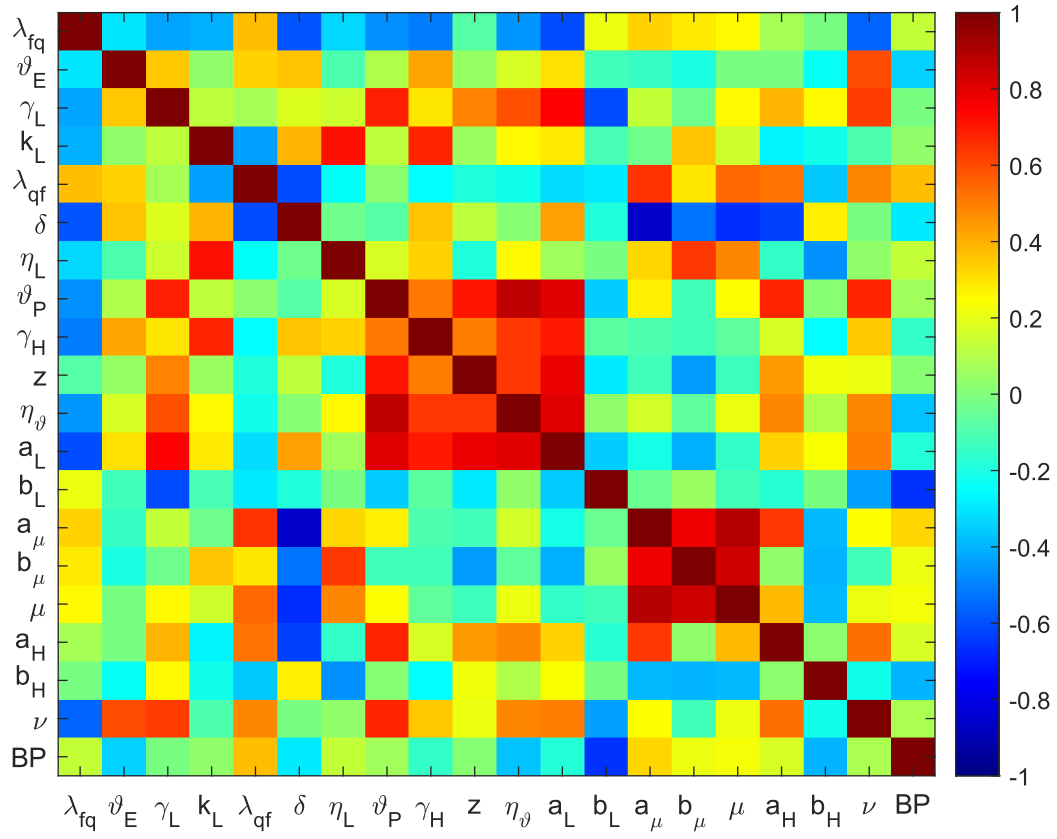
4.2. Parámetros estimados con sus intervalos

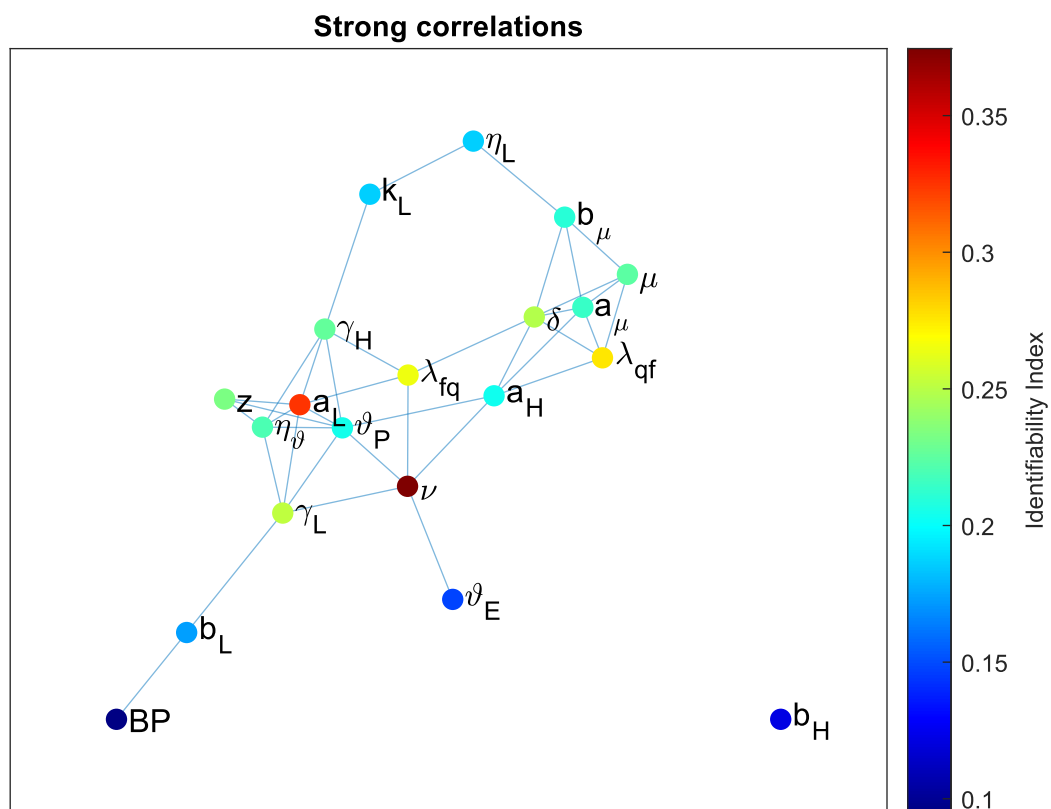
Fue necesario fijar 0 parámetros de 10 que podían fijarse para completar la validación.

	Rango		Nominal	Mejor	Index
λ_{fq}	'0.2512'	'0.473'	'0.3621'	'0.3937'	'0.2652'
ϑ_E	'0.6974'	'0.8145'	'0.7559'	'0.643'	'0.148'
γ_L	'0.2155'	'0.3848'	'0.3001'	'0.3802'	'0.2519'
k_L	'4.8456'	'6.221'	'5.5333'	'7.0883'	'0.1859'
λ_{qf}	'0.474'	'0.7114'	'0.5927'	'0.2895'	'0.2753'
δ	'0.0528'	'0.0728'	'0.0628'	'0.0744'	'0.2487'
η_L	'0.3546'	'0.5065'	'0.4305'	'0.5539'	'0.1863'
ϑ_P	'0.0225'	'0.0347'	'0.0286'	'0.0286'	'0.2052'
γ_H	'0.5082'	'0.6266'	'0.5674'	'0.5674'	'0.2272'
z	'11.8855'	'17.869'	'14.8773'	'17.2589'	'0.233'
η_{ϑ}	'0.7568'	'0.8519'	'0.8043'	'0.8087'	'0.2199'
a_L	'9.9068'	'13.3477'	'11.6273'	'11.6273'	'0.325'
b_L	'1.4077'	'3.4226'	'2.4151'	'2.0938'	'0.1735'
a_{μ}	'4.9137'	'6.1698'	'5.5418'	'5.0901'	'0.2149'
b_{μ}	'7.5774'	'9.3162'	'8.4468'	'9.3451'	'0.2108'
μ	'0.4525'	'0.5972'	'0.5249'	'0.5554'	'0.2248'
a_H	'4.2857'	'5.432'	'4.8589'	'4.3886'	'0.2042'
b_H	'8.544'	'9.7154'	'9.1297'	'10.133'	'0.1225'
ν	'116.1276'	'322.4698'	'219.2987'	'99.0101'	'0.3745'
BP	'158.1101'	'158.9027'	'158.5064'	'158.5402'	'0.0952'

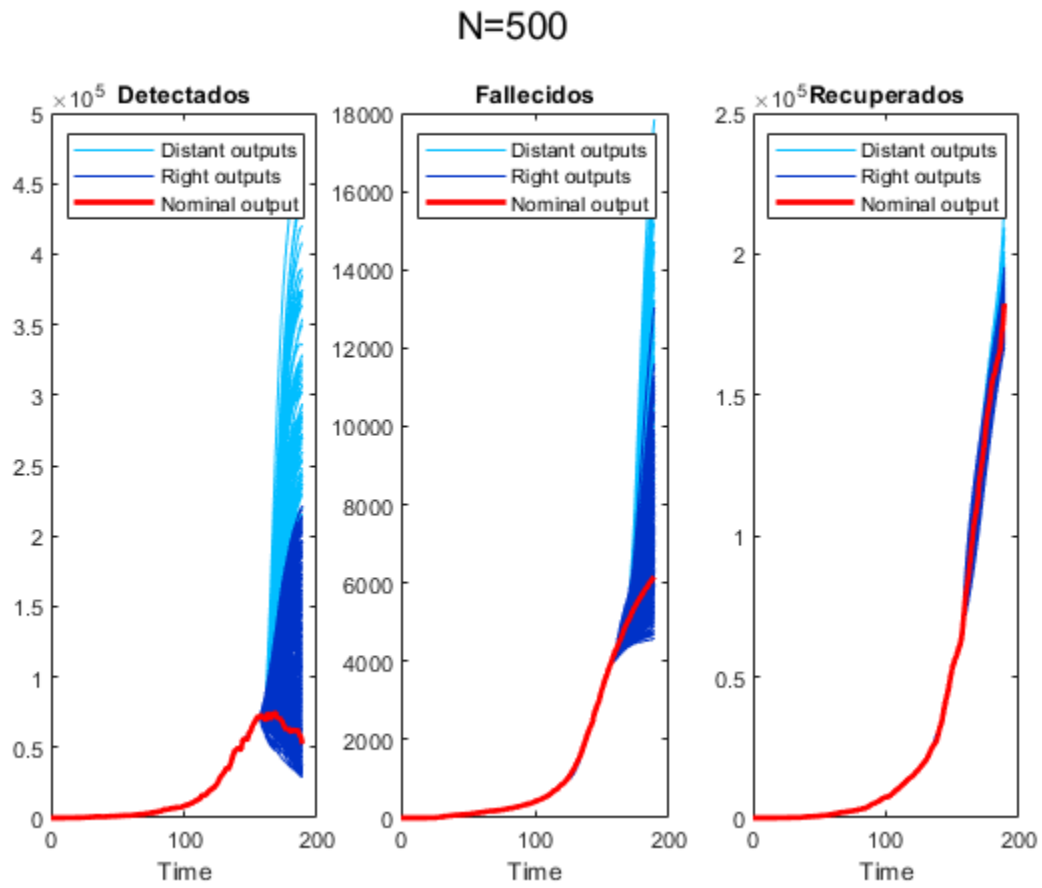
4.3. Análisis de identificabilidad







4.4. Análisis de incertidumbre



Capítulo 5. Tramo número 5

5.1. Información básica

El tramo a validar consiste en la serie de tiempo desde el dato 190 hasta el dato 250. El estado de la validación es: COMPLETADA.

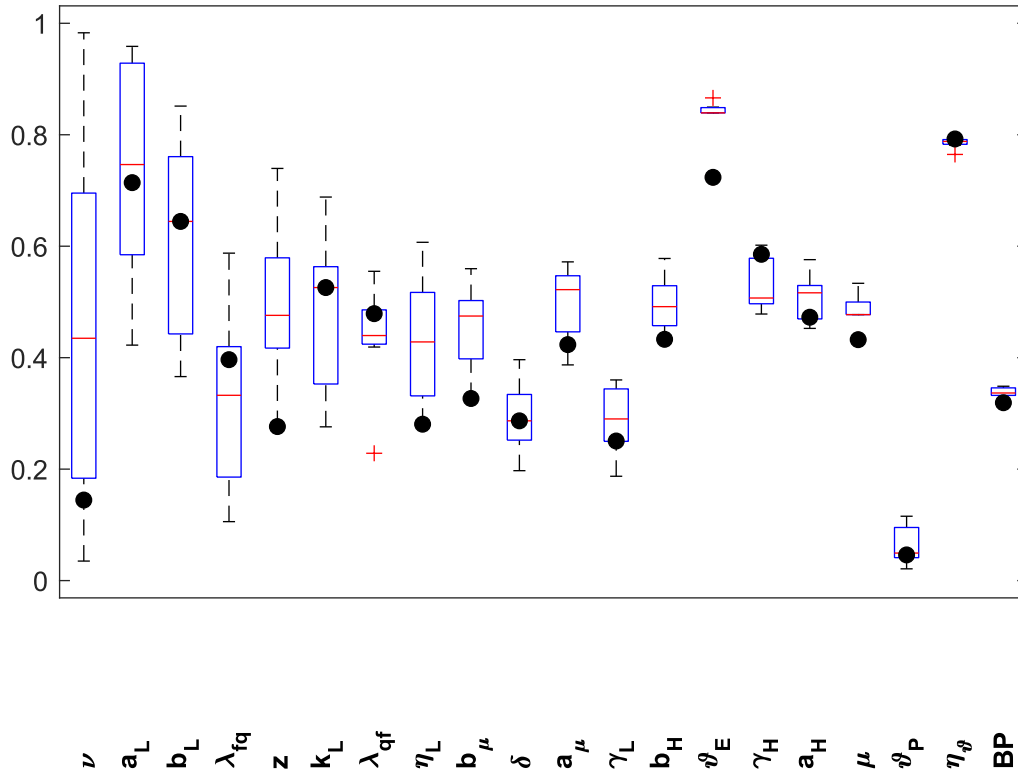
El número de estimaciones necesarias para realizar la validación fue de 20.

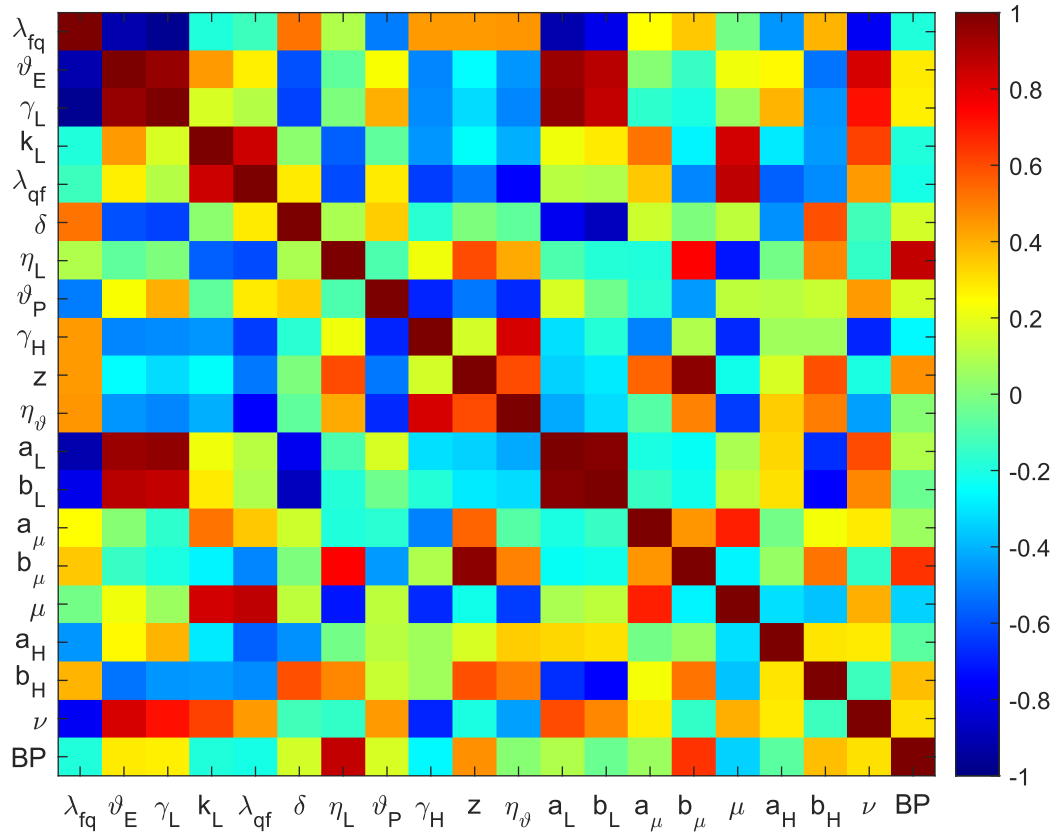
5.2. Parámetros estimados con sus intervalos

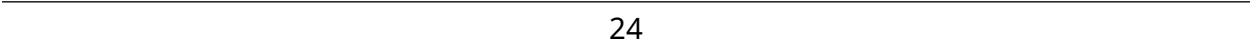
Fue necesario fijar 0 parámetros de 10 que podían fijarse para completar la validación.

	Rango		Nominal	Mejor	Index
λ_{fq}	'0.1788'	'0.4861'	'0.3325'	'0.3964'	'0.3754'
ϑ_E	'0.7489'	'0.9296'	'0.8393'	'0.7236'	'0.3117'
γ_L	'0.2317'	'0.3484'	'0.2901'	'0.2505'	'0.2652'
k_L	'4.5274'	'6.9373'	'5.7323'	'5.7323'	'0.3097'
λ_{qf}	'0.3133'	'0.5661'	'0.4397'	'0.479'	'0.3391'
δ	'0.0339'	'0.0521'	'0.043'	'0.043'	'0.235'
η_L	'0.3195'	'0.537'	'0.4283'	'0.2806'	'0.2858'
ϑ_P	'0.0172'	'0.0815'	'0.0494'	'0.0461'	'0.1772'
γ_H	'0.4622'	'0.5519'	'0.5071'	'0.5855'	'0.2243'
z	'10.1849'	'18.3702'	'14.2775'	'8.2914'	'0.3411'
η_{ϑ}	'0.7649'	'0.8111'	'0.788'	'0.7925'	'0.2147'
a_L	'8.7922'	'14.1104'	'11.4513'	'10.9968'	'0.4077'
b_L	'7.6005'	'12.4451'	'10.0228'	'10.0228'	'0.3706'
a_{μ}	'7.4188'	'9.1993'	'8.309'	'6.9279'	'0.1883'
b_{μ}	'6.6199'	'8.6718'	'7.6458'	'5.5746'	'0.232'
μ	'0.3529'	'0.6016'	'0.4773'	'0.4323'	'0.3124'
a_H	'7.6622'	'8.7963'	'8.2293'	'7.6159'	'0.1374'
b_H	'7.2339'	'8.5294'	'7.8817'	'7.0611'	'0.2454'
ν	'61.0438'	'373.7811'	'217.4124'	'72.261'	'0.5129'
BP	'189.444'	'191.1481'	'190.296'	'188.7253'	'0.122'

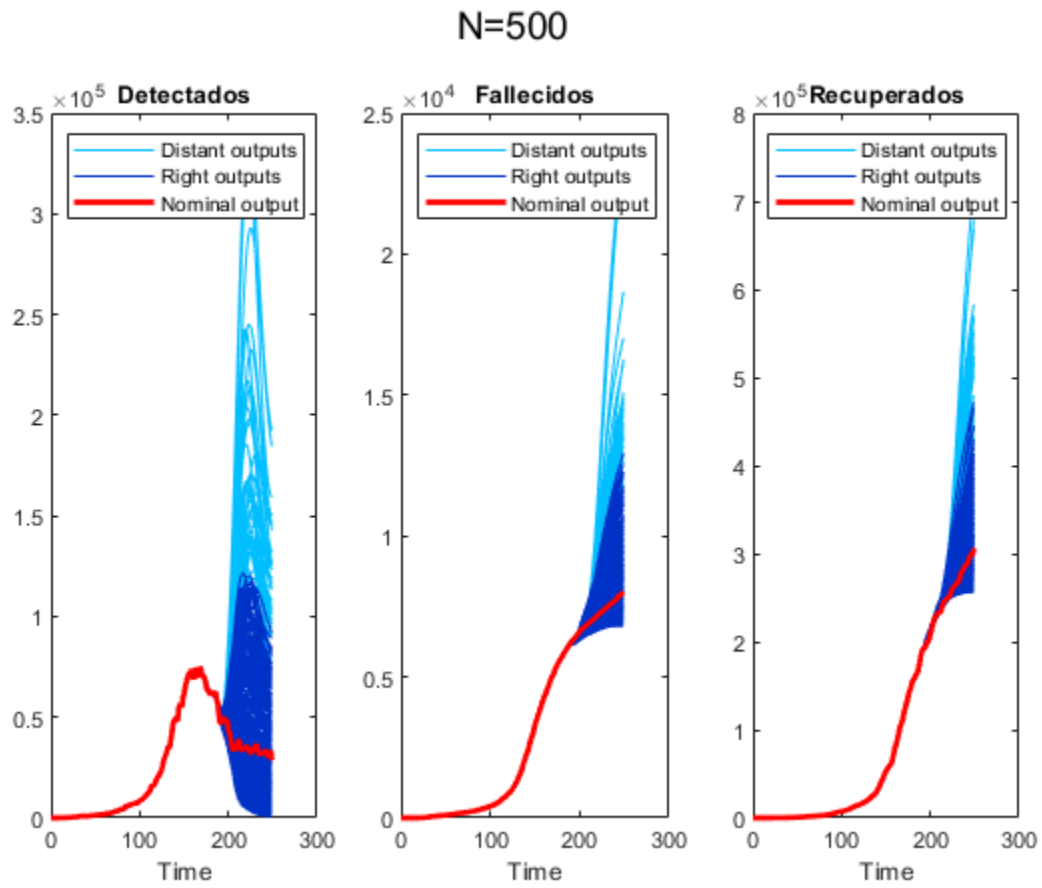
5.3. Análisis de identificabilidad







5.4. Análisis de incertidumbre



Capítulo 6. Tramo número 6

6.1. Información básica

El tramo a validar consiste en la serie de tiempo desde el dato 250 hasta el dato 279. El estado de la validación es: COMPLETADA.

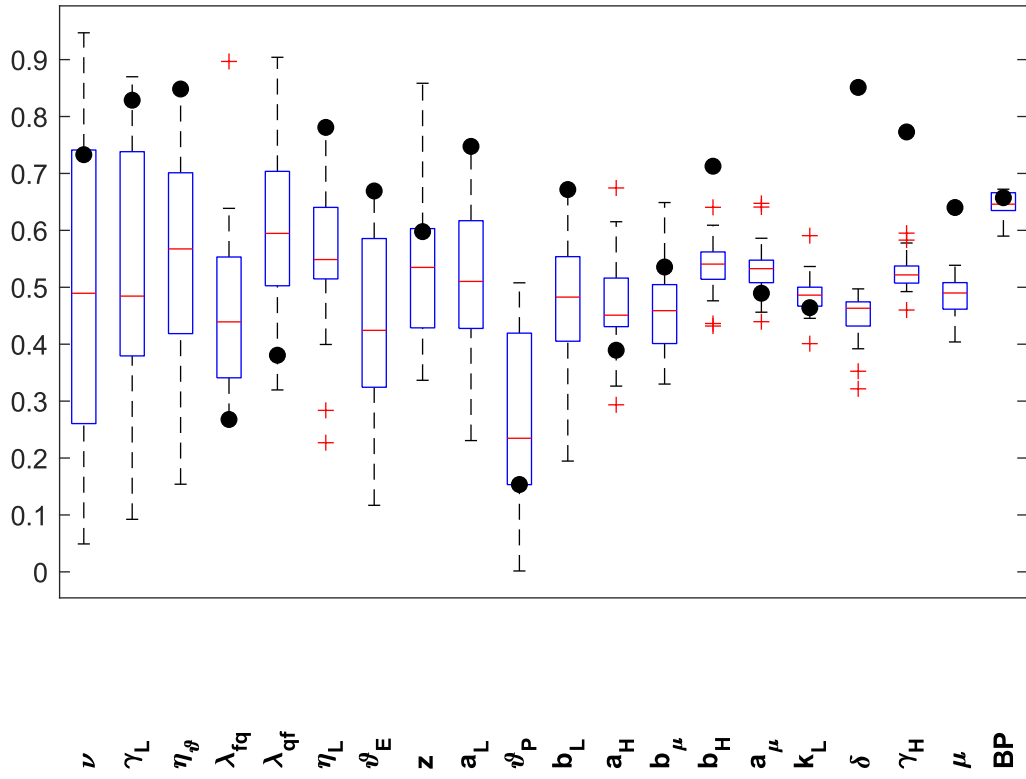
El número de estimaciones necesarias para realizar la validación fue de 20.

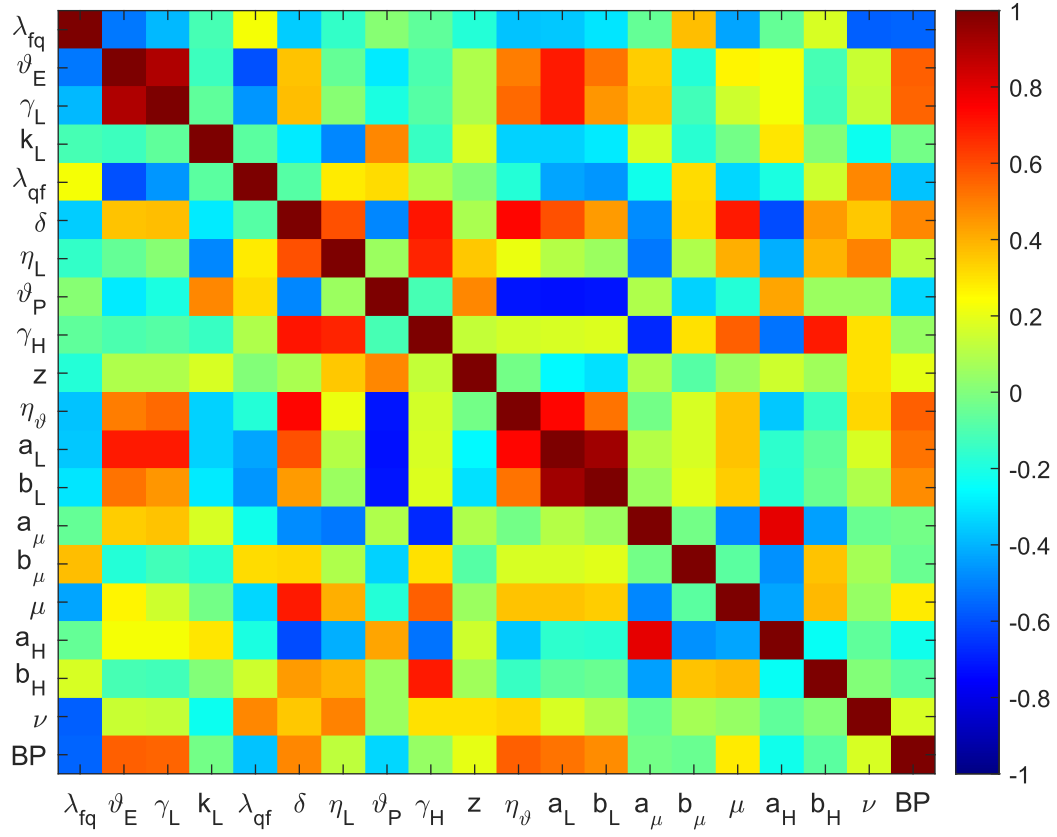
6.2. Parámetros estimados con sus intervalos

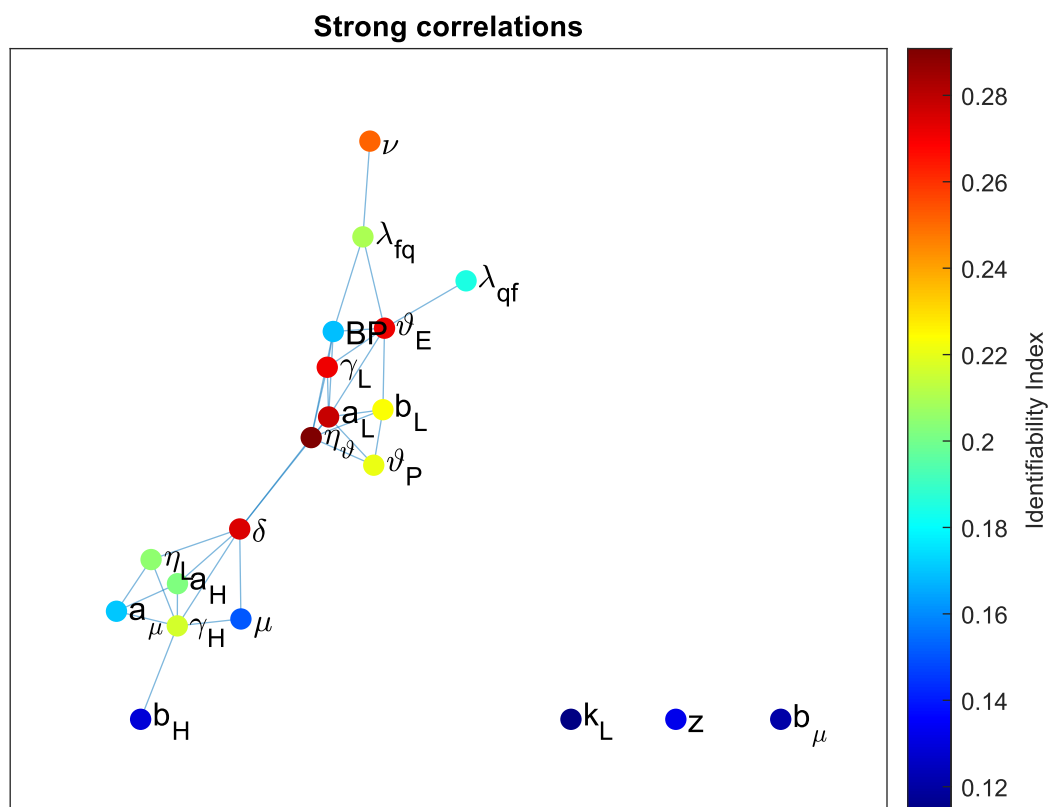
Fue necesario fijar 0 parámetros de 10 que podían fijarse para completar la validación.

	Rango		Nominal	Mejor	Index
λ_{fq}	'0.357'	'0.5214'	'0.4392'	'0.2678'	'0.2101'
ϑ_E	'0.3352'	'0.5135'	'0.4243'	'0.6692'	'0.2713'
γ_L	'0.3618'	'0.6071'	'0.4845'	'0.8287'	'0.2713'
k_L	'5.0181'	'5.7646'	'5.3913'	'5.1775'	'0.1142'
λ_{qf}	'0.5125'	'0.6769'	'0.5947'	'0.3806'	'0.1852'
δ	'0.0594'	'0.0803'	'0.0698'	'0.1277'	'0.2747'
η_L	'0.474'	'0.6234'	'0.5487'	'0.7809'	'0.2046'
ϑ_P	'0.1513'	'0.3181'	'0.2347'	'0.1535'	'0.2211'
γ_H	'0.4758'	'0.5676'	'0.5217'	'0.7729'	'0.2168'
z	'13.9832'	'18.1118'	'16.0475'	'17.9329'	'0.1327'
η_{ϑ}	'0.4632'	'0.6716'	'0.5674'	'0.8483'	'0.2908'
a_L	'7.1531'	'9.1351'	'8.1441'	'11.4656'	'0.2777'
b_L	'6.8205'	'8.6964'	'7.7584'	'10.4039'	'0.2233'
a_{μ}	'7.8202'	'9.096'	'8.4581'	'7.8534'	'0.1706'
b_{μ}	'6.7572'	'8.0917'	'7.4244'	'8.4983'	'0.1207'
μ	'0.4615'	'0.5189'	'0.4902'	'0.6402'	'0.1511'
a_H	'6.3719'	'8.1795'	'7.2757'	'6.4522'	'0.202'
b_H	'7.9831'	'9.1725'	'8.5778'	'10.9779'	'0.1293'
ν	'162.994'	'326.477'	'244.7355'	'366.4886'	'0.2511'
BP	'246.3902'	'248.6012'	'247.4957'	'248.5039'	'0.1692'

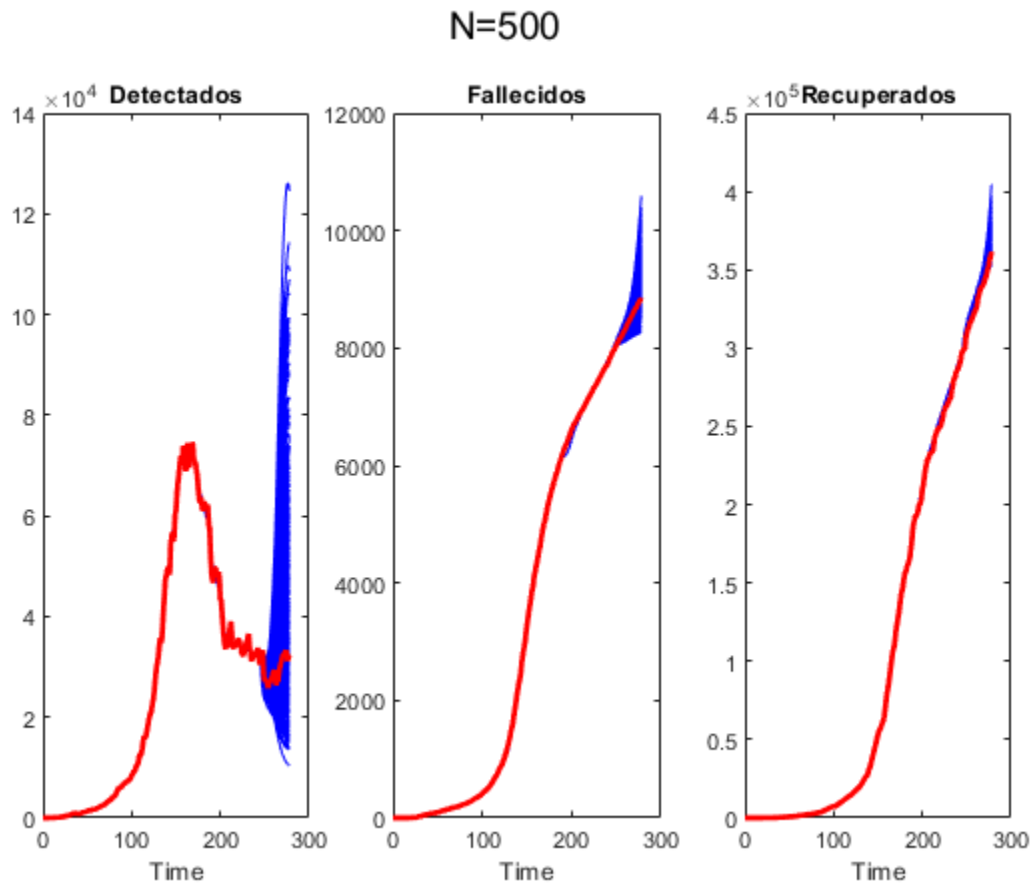
6.3. Análisis de identificabilidad







6.4. Análisis de incertidumbre



Capítulo 7. Tramo número 7

7.1. Información básica

El tramo a validar consiste en la serie de tiempo desde el dato 279 hasta el dato 315. El estado de la validación es: COMPLETADA.

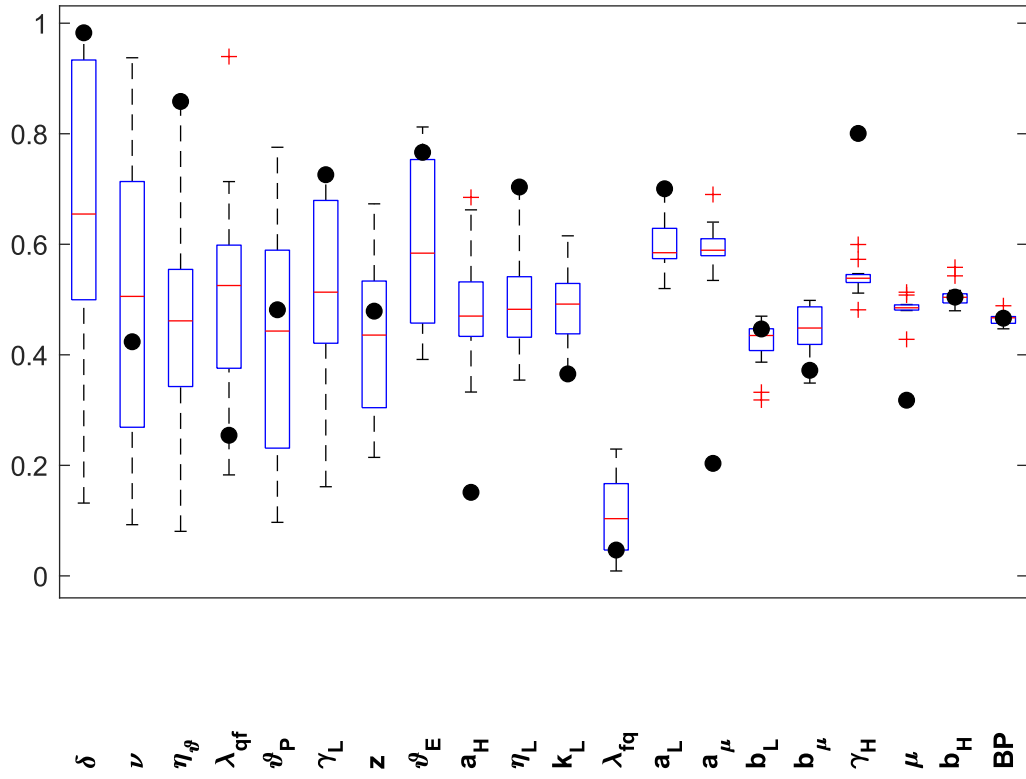
El número de estimaciones necesarias para realizar la validación fue de 20.

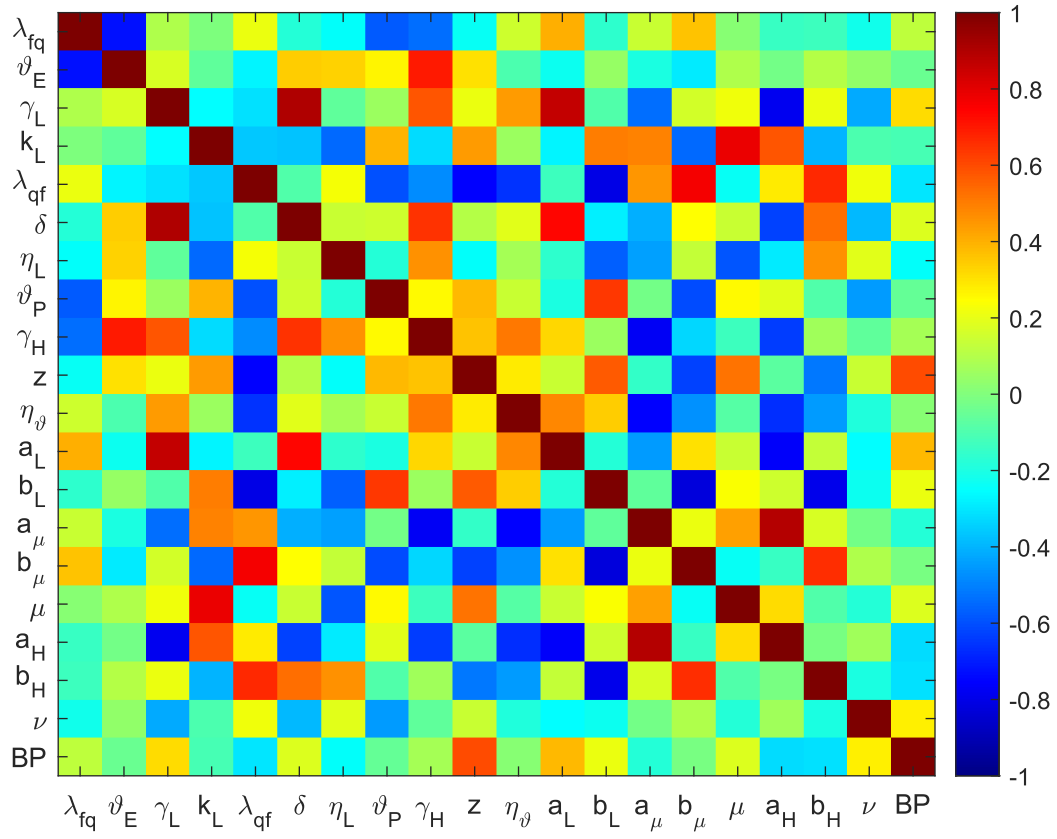
7.2. Parámetros estimados con sus intervalos

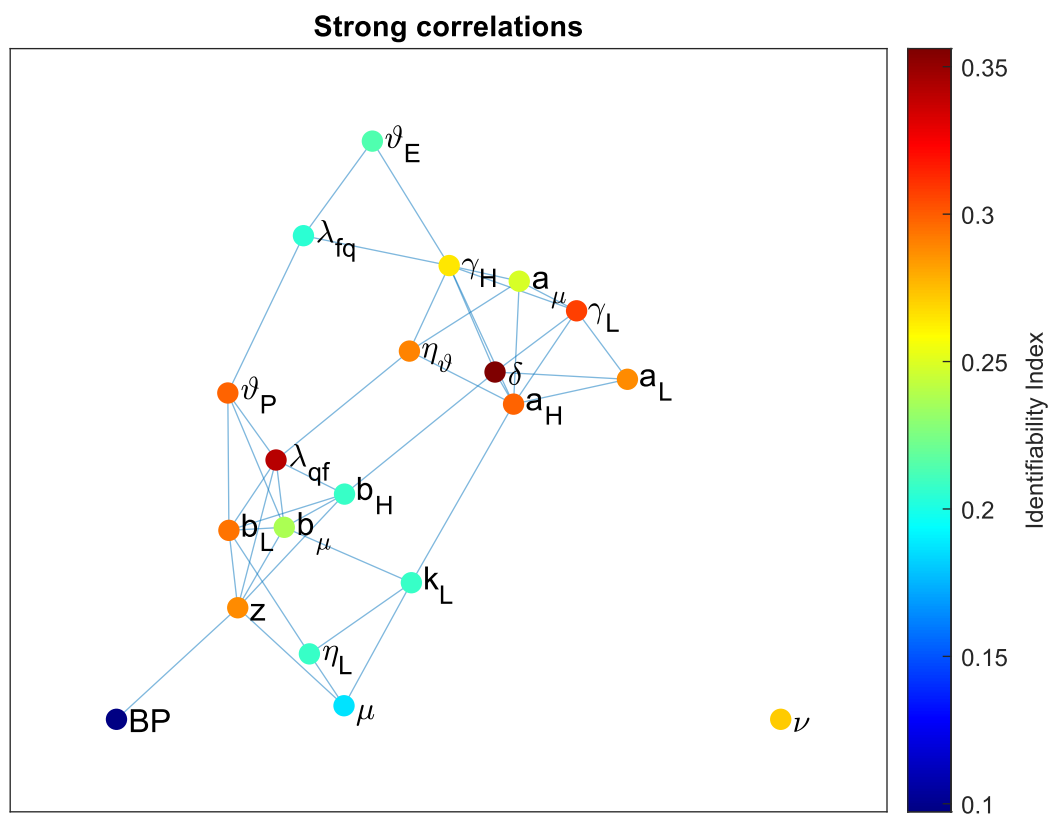
Fue necesario fijar 0 parámetros de 10 que podían fijarse para completar la validación.

	Rango		Nominal	Mejor	Index
λ_{fq}	'0.0192'	'0.1884'	'0.1038'	'0.0468'	'0.2051'
ϑ_E	'0.474'	'0.6939'	'0.5839'	'0.7664'	'0.2138'
γ_L	'0.377'	'0.6497'	'0.5134'	'0.7259'	'0.3069'
k_L	'4.9686'	'5.8834'	'5.426'	'4.2889'	'0.2076'
λ_{qf}	'0.3805'	'0.6703'	'0.5254'	'0.2544'	'0.3419'
δ	'0.0704'	'0.1261'	'0.0982'	'0.1474'	'0.3561'
η_L	'0.4061'	'0.5586'	'0.4824'	'0.7036'	'0.2084'
ϑ_P	'0.2881'	'0.5979'	'0.443'	'0.4815'	'0.2983'
γ_H	'0.4782'	'0.6022'	'0.5402'	'0.8006'	'0.2648'
z	'9.9043'	'16.2378'	'13.071'	'14.3701'	'0.2883'
η_{ϑ}	'0.3215'	'0.6014'	'0.4614'	'0.8584'	'0.2903'
a_L	'7.1511'	'11.1746'	'9.1628'	'10.8061'	'0.2876'
b_L	'5.5385'	'8.6402'	'7.0893'	'7.2545'	'0.2943'
a_{μ}	'7.9839'	'10.4826'	'9.2333'	'3.8501'	'0.2487'
b_{μ}	'6.5778'	'7.9622'	'7.27'	'6.2078'	'0.2369'
μ	'0.422'	'0.5481'	'0.4851'	'0.3179'	'0.1866'
a_H	'6.1343'	'8.9216'	'7.528'	'3.1165'	'0.2985'
b_H	'7.4084'	'8.7064'	'8.0574'	'8.0615'	'0.2081'
ν	'152.7175'	'352.9891'	'252.8533'	'211.822'	'0.2719'
BP	'279.7059'	'281.1002'	'280.403'	'280.3061'	'0.0973'

7.3. Análisis de identificabilidad







7.4. Análisis de incertidumbre

